

東洋大学 正会員 ○ 新井泰生
東洋大学 正会員 小泉淳

1. 考え方

薄板を構成して作られる薄肉構造物では、その薄板面内に局部的に集中荷重をうける場合には、その載荷位置に補剛材を設置することが設計上規定されている。たとえば、プレートガーダー支点反力上の鉛直補剛材あるいはボックスガーダー支点上のダイヤフラム等はその一例である。しかしながら、とくに構造物の架設段階においては、補剛材位置以外の場所にモルタルの大さきの集中荷重をうけるような場合を考えられ、通常の設計荷重で設計された構造では局部的に降伏あるいは破壊を招く恐れがある。本研究ではプレートガーダーをとりあげ、腹板に補剛材がない位置において、腹板面内方向にフランジ上に集中荷重をうける場合の腹板の強度について述べるものである。

2. 筆者等による載荷実験の概要

Fig. 1に示すようなプレートガーダー腹板1ハールの供試体を製作し、それを載荷装置(200トン万能試験機)ベッド上に据付け、ハネル中心線上のフランジに集中荷重Pを作用させた。供試体の材質は、フランジ、腹板とともに軟鋼(SS 41)である。供試体の上フランジの幅 b_f と厚さ t_f および腹板厚さ t_w はTable 1に記されている。Table 1においてG 1～5のTest Girderが筆者等の載荷実験における供試体である。荷重点付近の腹板の局部応力状態を調べるために、三軸ひずみゲージを腹板の表裏に貼付し、腹板の降伏状態に到達過程でのひずみ状態を把握した。

このようないずれか載荷方法を選用した理由は、桁としての応力状態の影響を除くためである。

3. 筆者等およびBergfeld等による載荷実験の結果とそれらの検討

2.で述べた筆者等の載荷実験の結果およびBergfeld等による載荷実験のうち、集中荷重の場合に相当する結果をTable 1に示す。Table 1においてB1, 3, ...などのTest GirderがBergfeld等による載荷実験の供試体である。表中の t_{fi} は等価フランジ厚さを示す²⁾(表下の欄外を参照)。 I_{fe} はフランジ断面の中立軸に関する断面二次モーメントを表している($I_{fe} = b_f t_f^3 / 12$)。なお、フランジの幅厚比 b_f/t_f はここでは $b_f/t_f = 25$ を基準としている。幅厚比 b_f/t_f が25と異なる場合に対しても、フランジ厚さ t_f を $b_f/t_f = 25$ に対応する等価フランジ厚さ t_{fi} に換算している。 P_u は破壊荷重を示し、 σ_w は腹板の降伏応力を表す。

破壊荷重 P_u を $\sigma_w t_w^2$ で除して無次元し、これと t_{fi}/t_w との関係を図に表わすとFig. 2のようになる。

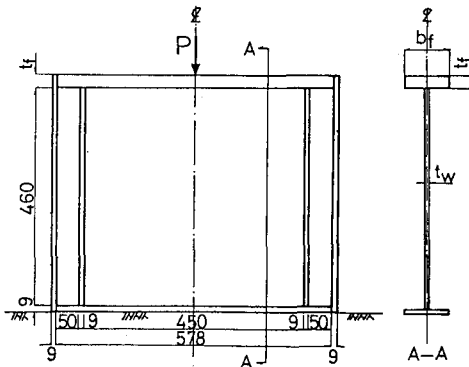


Fig. 1 筆者等による載荷実験

Table 1 供試体の寸法と破壊荷重 P_u

TEST GIRDER	t_w (mm)	b_f (mm)	t_f (mm)	t_{fi} * (mm)	t_f/t_w	P_u (t)	P_u/t_w^2
G 1	9	140	9	7.99	0.89	49.0	25.2
G 2	9	140	18	13.44	1.49	56.8	29.2
G 3	6	94	6	5.34	0.89	17.7	20.5
G 4	6	94	13	9.53	1.59	25.0	28.9
G 5	6	94	25	15.57	2.60	32.4	37.5
B 1	3.26	150	6.1	6.07	1.86	9.70	27.5
B 3	3.26	200	8.5	8.37	2.57	10.75	30.4
B 5	3.26	250	10.1	10.07	3.09	12.30	34.8
B 7	3.26	250	11.9	11.39	3.49	12.85	36.4
B 9	3.26	300	15.3	14.40	4.42	15.43	43.7
B 15	2	100	10	7.95	3.98	5.60	46.7
B 17	2	100	12	9.12	4.56	5.60	46.3
B 21	3.40	250	10	10.00	2.94	11.37	34.4

$$* t_{fi} = \sqrt{12 t_h / 25} = t_f \sqrt{b_f / 25 t_f}$$

筆者等の実験は、 t_{fi}/tw が比較的小さい範囲 ($t_{fi}/tw = 1 \sim 2.5$) にあり、一方、Bergfelt 等の実験は比較的大きい範囲 ($t_{fi}/tw = 2 \sim 4.5$) にある。Bergfelt は文献2)において、 t_{fi}/tw が 1~2.5 の大きい範囲で、 $P_u/tw^2\sqrt{\sigma_w \cdot E}$ (E は腹板のヤング率) と t_{fi}/tw との関係を一次式で表わすことを理論的に説明している。ここでは、 $P_u/\sigma_w tw^2$ と t_{fi}/tw との関係を一次式で相関し、実験値13例

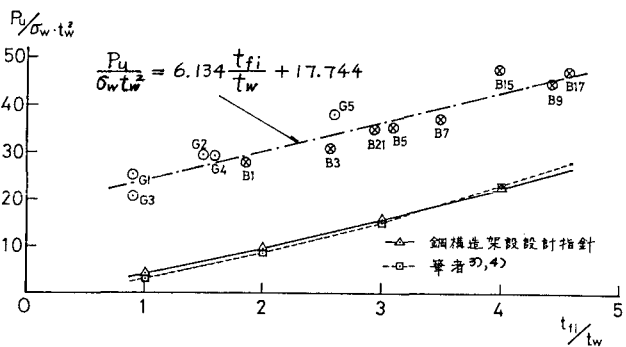


Fig. 2 破壊荷重 $P_u/5wt_w^2$ と t_{fi}/t_w の関係

4. 荷重点附近における腹板の局部応力状態

Bergfeldtは文献2)において、荷重点付近の腹板の局部応力状態を次のように述べている。 $t_f/t_w < 1/2$ の比較的に腹板面内方向のフランジ曲げ剛性が小さい場合は、腹板は荷重点直下で局部的に降伏し、荷重が増加するにつれて降伏領域が拡大して荷重点付近の腹板が塑性変形を走り、場合によっては同時に局部的に不安定現象を示す。一方、 $t_f/t_w > 2$ の比較的にフランジ曲げ剛性が大きい場合は、腹板が局部的に降伏する以前に局部座屈する可能性がある。

筆者等の載荷実験においては ($t_f/t_w < 2.5$)、腹板の局部的降伏が先行し (破壊荷重の $1/2$ ～ $1/4$ の荷重段階で)、局部座屈現象は破壊荷重に近い領域で発生していた。筆者等はフランジに集中荷重をうける場合の腹板の局部応力を弹性理論により求めている^{3), 4)}。こより、フランジ幅/厚比 bf/t_f が 25 の場合について、荷重点直下の腹板におけるミーゼスの相当応力 σ_M を求め、 $P/\sigma_M t_w^2$ と t_f/t_w との関係で整理したものが Fig. 2 の破線 (---○---) である。すなばら、 $\sigma_M = \sigma_w$ とすれば、荷重 P は腹板の降伏荷重 P_f となる。

鋼構造架設設計指針¹⁵⁾によれば、荷重点付近の腹板の局部座屈応力度 β は以下のように与えられる。

$$\theta = - \frac{2P}{\pi t_w^2 \left(\frac{t_f}{t_w} \right) \left(1.5527 \sqrt[3]{\frac{t_f}{t_w}} + 1 \right)} \quad \text{--- (2)}$$

上式より $P/\sigma t_w^2$ と t_{fi}/t_w の関係を求め図に示したものが Fig. 2 の実線(—△—)である。破線と実線の両曲線は $t_{fi}/t_w = 1 \sim 4$ の範囲ではほぼ一致していて、指針が局部座屈応力度として想定しているか、 $t_{fi}/t_w < 4$ の範囲では、結果的には局部座屈の影響は入っていないと考えられる。

5. むすひ

Fig. 2 の曲線により腹板の限界応力が規定されれば、この曲線と破壊荷重 P_u との向か強度となる。この強度は $t_w/t_w = 1 \sim 4$ の範囲内では幅一定で、 $200w/t_w^2$ 程度の大きさとなっている。

最後に、筆者等の実験は、本学の卒論として行なったものであることを付記し、割合諸君に謝意を表します。

参考文献

- 1) Roberts, T.M. and K.C. Rockey: A Mechanism solution for predicting the collapse loads of slender plate girders when subjected to in-plane patch loading, Proc. I.C.E., 1979.
 - 2) Bergfelt, A.: The behavior and design of slender webs under partial edge loading, In Steel plated structures, P.J. Dowling et al. (eds). Crosby Lockwood Staples, 1976.
 - 3) 新延泰生: フランジに集中荷重をうける腹板の局部応力について, 東洋大工学部研究報告, 1979.
 - 4) 小泉淳, 新延泰生: フランジに集中荷重をうける腹板の局部応力について(その2), 東洋大工学部研究報告, 1980.
 - 5) 土木学会: 鋼構造架設設計指針, 1978.